

In Technical Digest, Conference on Laser and Electro-Optics (Optical Society of America, Anaheim, California). 1988. Paper THU 4.

- [8] Антонишикис Н.Ю., Арсентьев И.И., Гарбузов Д.З., Колышкин В.И., Комиссаров А.Б., Кочергин А.В., Налёт Т.А., Стругов Н.А. // Письма в ЖТФ. 1988. Т. 14. В. 8. С. 699-702.

Физико-технический  
институт им. А.Ф. Иоффе  
АН СССР, Ленинград

Поступило в Редакцию  
1 сентября 1989 г.

Письма в ЖТФ, том 15, вып. 24

26 декабря 1989 г.

07

ПЕРЕСТРАИВАЕМЫЙ ЛАЗЕР НА КРИСТАЛЛАХ  
 $LiF : F_2^+ (OH)$  С КАТОДОЛЮМИНЕСЦЕНТНОЙ НАКАЧКОЙ

И.И. Кулак, А.И. Митьковец,  
В.П. Морозов

В последнее время ведется поиск эффективных способов накачки перестраиваемых лазеров на кристаллах с центрами окраски, обладающих широкими полосами поглощения и люминесценции. На кристаллах такого типа получена генерация как при лазерном возбуждении различной длительности [1], так и широкополосном возбуждении излучением ламп накачки [2] и светодиодной накачке [3]. В рамках поиска более эффективного полного КПД лазерной системы в [4] высказано предположение о возможности использования для получения генерации на центрах окраски излучения полупроводниковых катодолюминофоров.

В настоящей работе впервые сообщается о реализованном режиме перестраиваемой генерации на кристаллах  $LiF : F_2^+ (OH)$  при накачке излучением полупроводниковых источников света с электронным возбуждением. В экспериментах использовался ускоритель с энергией электронов  $\sim 200$  кэВ, плотностью тока пучка до  $1\text{ kA/cm}^2$  и длительностью импульса по полувысоте 1.5 нс. Диаметр выходной анодной фольги 1.4 см. Катодолюминесцентные источники излучения представляли собой пластинки толщиной 100-200 мкм, вырезанные из монокристаллов  $CaS_{1-x}Se_x$  и наклеенные оптическим kleem на кварцевые подложки толщиной 3 мм. Поверхность кристаллов, облучаемая электронным пучком, обрабатывалась по специальной технологии, что позволило почти на порядок повысить мощность излучения. Спектры катодолюминесценции регистрировались на спектральном анализаторе OSA фирмы *B&M-spektronik*.

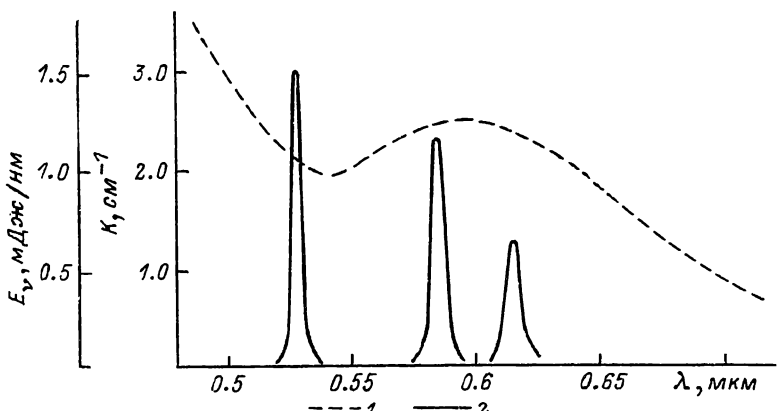


Рис. 1. Спектр поглощения (1) кристалла  $\text{LiF} : \text{F}_2^+(\text{OH})$  и спектры суперлюминесценции использовавшихся катодолюминофоров (2).

Для накачки были выбраны излучатели с длинами волн в максимумах полос 529, 585 и 619 нм при их полуширине 59, 71 и 78 Å соответственно (рис. 1). Длительность свечения катодолюминесценции, измеренная с помощью ФЭК-26 и осциллографа С7-19, составила 3 нс. Энергетические характеристики катодолюминесценции определялись опто-акустическим измерителем энергии, откалиброванным на длине волны 0.53 мкм.

Для получения генерации использовались коммерческие радиационно-окрашенные кристаллы  $\text{LiF} : \text{F}_2^+(\text{OH})$ , изготовленные в ИПФ при Иркутском государственном университете. Размеры активного элемента  $11.5 \times 13 \times 27$  мм<sup>3</sup>. Максимальный коэффициент поглощения  $\text{F}_2^+$ -центров соответствовал  $\lambda = 600$  нм и равнялся  $2.5 \text{ см}^{-1}$  (рис. 1), концентрация центров -  $1.2 \cdot 10^{16} \text{ см}^{-3}$ ; время жизни возбужденного состояния 29 нс.

В экспериментах применялась поперечная схема накачки. Активный элемент располагался непосредственно у поверхности кварцевой подложки с катодолюминофором. Резонатор длиной 85 мм образован плоско-параллельными зеркалами. Измерение выходной энергии генерации проводилось пироэлектрическим приемником  $Rj-7200$ . Проведена оптимизация резонатора по коэффициенту обратной связи; например, для катодолюминофора № 2 оптимальное значение  $R_{\text{опт.}} = 65\%$ . При этом максимально достигнутая энергия генерации - 1.05 мДж, что составляет 12 % эффективности преобразования энергии излучения люминофора и 0.03 % потребляемой электрической энергии. Значения энергии генерации, полученные при накачке другими катодолюминофорами, указаны в таблице. Спектр генерации по уровню 0.1 при накачке излучателем № 2 заключен в интервале 0.88–0.99 мкм; длительность импульса генерации - 4 нс.

Исследование работы лазера в селективном резонаторе и осуществление генерации второй гармоники проводились при накачке

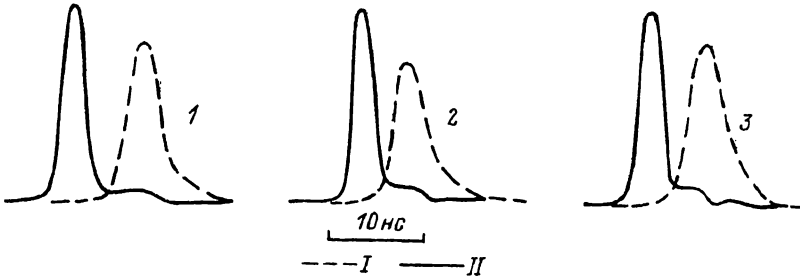


Рис. 2. Кинетика импульсов накачки (I) и генерации лазера на  $\text{LiF}: \text{F}_2^+(\text{OH})$  (II) при возбуждении катодолюминофорами 1-3 соответственно.

Катодолюминофор	$\lambda_{\text{макс нак}}$ (нм)	$W_{\text{нак}}$ (мДж)	$W_{\text{ген}}$ (мДж)	$\tau_{\text{ген}}$ (нс)	$\Delta\tau_{\text{ген}}$ (нс)
1	529	8.5	0.21	4	7.5
2	585	8.5	1.05	4	4
3	619	5.7	0.87	4	6

активного элемента преобразователем № 3 в резонаторе длиной 115 мм, образованном зеркалом с коэффициентом отражения 84 % и дифракционной решеткой 600 штр/мм, установленной по автоколлимационной схеме. Получена перестраиваемая генерация в спектральном диапазоне 0.85-1.05 мкм с полушириной линии излучения 2.4 нм.

Осуществлена генерация второй гармоники в кристалле КДР. При накачке кристалла  $\text{LiF}: \text{F}_2^+(\text{OH})$  короткими (по сравнению с временем жизни возбужденного состояния) импульсами излучения наблюдается существенная задержка между импульсом катодолюминесценции и импульсами генерации ( $\Delta\tau_{\text{ген}}$ ) и деформация импульса генерации (рис. 2). Отметим, что с приближением максимума спектра возбуждения к максимуму спектра поглощения задержка импульса генерации уменьшается до 4 нс, что связано, в первую очередь, с различным уровнем возбуждения кристалла вследствие изменения коэффициента поглощения и эффективности излучения катодолюминофоров.

Расходимость излучения лазера в неселективном резонаторе составила 0.13 раз в плоскости расположения катодолюминофора и 0.02 раз в перпендикулярной плоскости. Денситометрирование распределения поля генерации в ближней зоне указывает на экспоненциальное уменьшение интенсивности генерации по мере удаления от освещаемой грани кристалла. Не обнаружено изменений в энергетике и кинетике импульсов генерации при облучении активного элемента  $\sim 1.2 \times 10^3$  импульсами излучения катодолюминесценции.

Таким образом, полученные результаты указывают на конкурентоспособность катодолюминесцентных источников накачки лазеров на радиационно-окрашенных кристаллах по отношению к традиционным (лазерным и широкополосным ламповым) источникам возбуждения. Улучшение светосбора, использование активного элемента соответствующей конфигурации, а также повышение эффективности катодолюминесцентных источников позволит повысить КПД таких лазеров в целом.

Авторы выражают благодарность Г.П. Яблонскому за любезно предоставленные образцы катодолюминофоров и полезные обсуждения результатов.

### С п и с о к   л и т е р а т у р ы

- [1] Басиев Т.Т., Воронько Ю.К., Миров С.Б., Осико В.В., Прохоров А.М. // Известия АН СССР. Сер. физ. 1982. Т. 46. № 8. С. 1600-1610.
- [2] Карпушко Ф.В., Морозов В.П., Синицын Г.В. // Препринт ИФ АН БССР. 1983. № 385. 16 с.
- [3] Donavan J.L. // Opt. Commun. 1989. V. 70. N 3. P. 225-228.
- [4] Грузинский В.В., Давыдов С.В., Капутерко М.Н., Кулак И.И. // ЖПС. 1987. Т. 47. № 4. С. 672-673.

Институт физики  
им. Б.И. Степанова  
АН БССР, Минск

Поступило в Редакцию  
16 мая 1989 г.

Письма в ЖТФ, том 15, вып. 24

26 декабря 1989 г.

06.2; 09

### КВАНТОВЫЙ ПРИЕМ (СУБ)МИЛЛИМЕТРОВОГО ИЗЛУЧЕНИЯ С ИСПОЛЬЗОВАНИЕМ ЭФФЕКТА РЕЗОНАНСНОГО ТУННЕЛИРОВАНИЯ

А.В. Каменев, В.В. Кислов

В последние годы активно разрабатываются устройства, основанные на использовании квантового размерного эффекта в полупроводниковых гетероструктурах. С одной стороны, создаются лазеры и другие приборы оптического и ИК диапазонов [1, 2], основанные на излучательных переходах между квантоворазмерными уровнями. С другой – изучаются возможности использования эффекта резонансного туннелирования через квазистационарный размерный уровень для освоения террагерцевого диапазона [3]. В какой-то мере